

○菊池 昭美
京都大学工学部 学生
京都大学工学部 正井上 謙輝
京都大学工学部 正森 沢真輔

1.はじめに 放射性廃棄物を地中に処分すると、放射性核種が処分区域から地下水系に浸入し、最終的に人体へ被曝をもたらす可能性がある。本報告では、放射線管的安全性を確保するために必要な処分場周辺の監視システムの配備方法に注目し、特に監視システムの設計要件の重要なひとつであるモニタリングポイント（以下、MPと略記する）の最適配置手法について述べる。

2.放射性核種の移動を予測するための数値モデル 放射性廃棄物地中処分場にMPを配置する場合には、処分区域より漏出する放射性核種の地中移動を把握する必要がある。本研究では、(1)式を放射性核種の地中移動を予測するための基礎式とする。

$$\frac{\partial}{\partial t} \{fh + (1-f)\rho kh\}C = \frac{\partial}{\partial x}(fhD_x \frac{\partial C}{\partial x}) + \frac{\partial}{\partial y}(fhD_y \frac{\partial C}{\partial y}) - \frac{\partial}{\partial x}(fhv_x) - \frac{\partial}{\partial y}(fhv_y) - \lambda \{fh + (1-f)\rho kh\}C \quad (1)$$

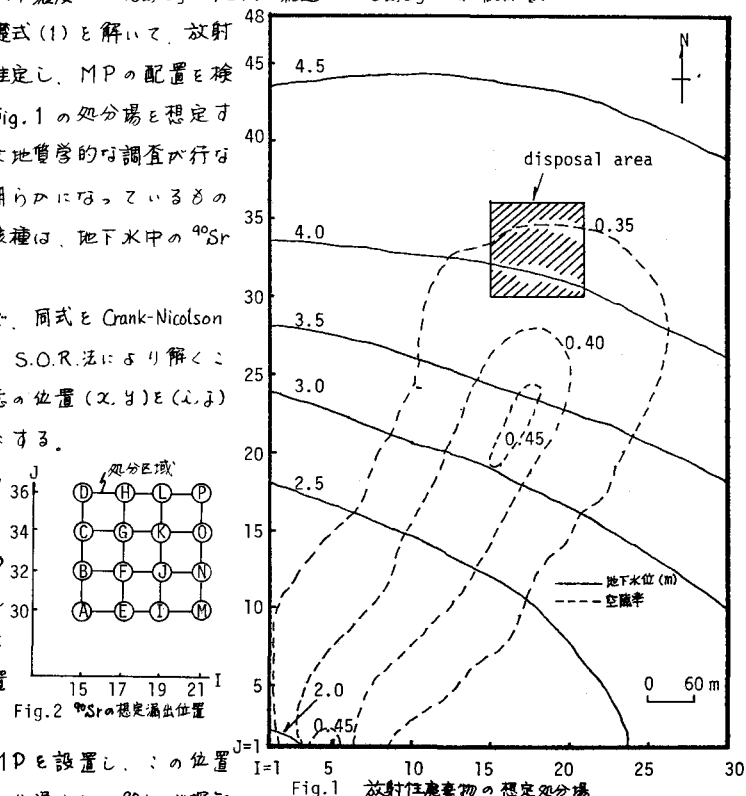
ここに、
 f : 地層空隙率 ρ : 土壌密度 h : 水頭 k_d : 分配係数 λ : 放射性核種の壊変定数
 C : 放射性核種の地下水中濃度 v_x, v_y : 地下水流速 D_x, D_y : 批散係数

3.モニタリングポイントの配置 基礎式(1)を解いて、放射性核種の地下水中非定常濃度分布を推定し、MPの配置を検討するケーススタディの場として、Fig.1の処分場を想定する。同処分場については、充分な水文地質学的な調査が行われ、必要な物理化学的諸元は全て明らかになっているものとする。また、モニタリングの対象核種は、地下水中の⁹⁰Srであるとする。

(1)式は、解析的には解けないので、同式を Crank-Nicolson 型の差分で近似し、計算機を用いて、S.O.R. 法により解くこととする。処分場を格子分割し、任意の位置 (x, y) を (i, j) ($i=1 \sim 30, j=1 \sim 48$) で表わすことにする。

計算は、⁹⁰Sr の漏出率を、500 Ci/day 5 Ci/day, 0.05 Ci/day の 3 段階に変化させ、⁹⁰Sr がそれぞれ Fig.2 の A ~ P の 16 の位置から漏出する場合について実行した。計算結果をもとに、MP 以下に示す最適配置の評価基準に従って配置した。

処分場内の任意の位置 $M_x(i, j)$ に MP を設置し、この位置においてそれから ($n \leq 16$) の漏出位置より漏出した⁹⁰Sr が探知できる時、この位置の MP の探知期待値を $1/16$ とする。想定漏出位置より漏出した⁹⁰Sr の、MP における地下水中濃度が定量限界濃度 ($2.0 \times 10^{-8} \mu\text{Ci}/\text{ml}$) に達すれば、その地点で⁹⁰Sr の漏出が探知できると考えた。時間の経過と共に、当該位置には多くの漏出点から漏出した定量限界濃度以上の⁹⁰Sr が流達し、そのため MP の探知期待値は $1/16$



ずつ離散的に増加するが、ある時間と過ぎると増加しなくなる。この時の期待値を最大探知期待値呼び、 E_{max} で表すことにする。また、この時刻を最長必要探知日数呼び、 T_{max} で表すことにする。MPの設置数が複数になると、ある1点から漏出しそれぞれ複数のMPで探知される場合が生じる。このように複数のMPで探知される ^{90}Sr の漏出位置数、モニタリングシステムの冗長度を表すことにする。また、探知される ^{90}Sr の漏出位置数の各々に対応して、何個の必要探知日数があるので、これらの平均値を平均探知日数呼び、 T_{mean} で表すことにする。

漏出

本研究では、放射性核種の環境への有無を、効果的で迅速、確実に探知するモニタリングシステムを設計することを主目的にしている。この目的を達成するためには、先に定義した E_{max} , T_{max} , 冗長度を最大にし、かつ T_{mean} を最小にするようにモニタリング位置を定めねばよい。これらの設計条件は、限られた MP の数のときに全てを同時に満たすことはできない。こゝではとりあえず次のように優先順位をつけることにする。すなわち、1. モニタリングシステムの E_{max} が最大であること。2. モニタリングシステムの T_{max} が最小であること。3. モニタリングシステムの冗長度が最大であること。4. モニタリングシステムの T_{mean} が最小であること。この優先順位に従い、以下に述べる配置手法により MP を配置する。

MP の最適配置のための準備として、

Tab.1 のような表を MP の数に応じて作成する。Tab.1 は MP の設置数が 3コである

場合の例である。表中の文字 A～P は ^{90}Sr の想定漏出位置 E、その下の数値は当該位置から漏出しそれぞれ M1～M3 の MP で探知されるのに要する日数を示す。MP の位置は M1(15, 30), M2(17, 35), M3(19,

Tab.1 漏出点と探知日数 (漏出率 5 Ci/day)

	A	B	C	D	E	F	G	H	I	J	K	L	M	N	O	P
M1	1	2	35	-	3	45	-	-	-	-	-	-	-	-	-	
M2	-	-	-	-	-	-	2	2	-	-	-	19	-	-	-	
M3	-	-	-	-	-	-	-	-	1	2	35	-	2	35	-	

$$E_{max} = \frac{13}{16}, T_{max} = 45 \text{ (day)}, \text{冗長度} = 0, T_{mean} = 14.2 \text{ (day)}$$

Tab.2 漏出点と探知日数 (漏出率 5 Ci/day)

	A	B	C	D	E	F	G	H	I	J	K	L	M	N	O	P
M1	1	2	35	-	3	45	-	-	-	-	-	-	-	-	-	
M2	-	-	1	2	-	-	3	63	-	-	-	-	-	-	-	
M3	-	-	-	-	-	2	2	11	-	-	17	-	-	-	-	
M4	-	-	-	-	-	-	-	-	1	2	35	-	2	35	-	
M5	-	-	-	-	-	-	-	-	-	-	1	2	-	-	3	
M6	-	-	-	-	-	-	-	-	-	-	-	-	-	2	12	

$$E_{max} = 1, T_{max} = 12 \text{ (day)}, \text{冗長度} = 8, T_{mean} = 3.1 \text{ (day)}$$

30) である。この表より、 E_{max} , T_{max} , 冗長度および T_{mean} を読みとり、上述の判定基準と優先順位に従い、MP の最適配置を決定する。

4. 結果と考察 Tab.2 は ^{90}Sr の漏出率が 5 Ci/day で、MP の数が 6コの場合の最適配置を示す表である。MP の位置は、M1(15, 30), M2(15, 34), M3(17, 33), M4(19, 30), M5(19, 34), M6(21, 33) である。Fig.3 は、MP の数が 6コの場合には、漏出率が 500～0.05 Ci/day の範囲で変化しても、MP の最適配置はほとんど同じであることを示している。すなわち、放射性核種の漏出率が変化しても、MP の最適配置はほとんど変化しないことから、ある量の漏出率を任意に仮定して最適配置を定めればよいことになる。

5. おわりに 本研究で提案した手順により決定される MP の最適位置は、検討条件下では、不確定要素の大きさは放射性核種漏出率の変化に依存しないこと、最適位置の決定に要する労力が少なくて済み、かつその手順が明確であること、等から考えて、こゝで提案した MP の最適配置の手法は有効であると考えられる。ただし、今後さらに、バックグラウンド濃度の影響等について検討する他、漏出位置や漏出率を同定するためのモニタリングシステムのあり方等について検討する必要がある。

最後に、本研究の数値計算には、京都工大大型計算機センター FACOM OS IV/F4 を利用したこと付記する。

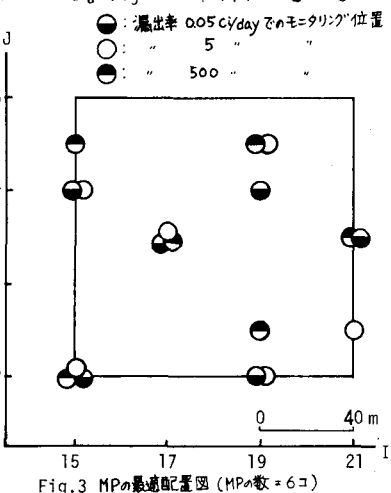


Fig.3 MP の最適配置図 (MP の数 = 6コ)